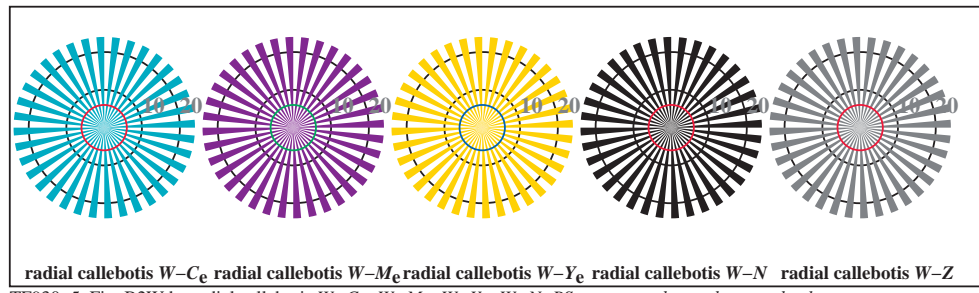




TF930-3, Fig. B1Wde: le motif fleuri, 14 CIE test couleurs et 2 + 16 gris étapes (sf); ; PS operator 4 colorimage

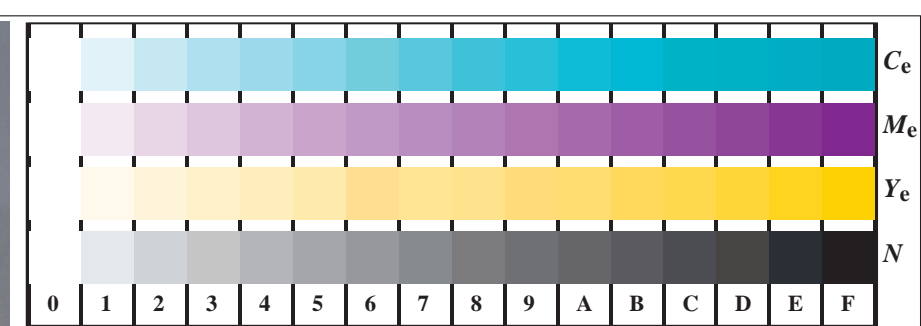


radial callebotis $W-C_e$ radial callebotis $W-M_e$ radial callebotis $W-Y_e$ radial callebotis $W-N$ radial callebotis $W-Z$

TF930-5, Fig. B2Wde: radial callebotis $W-C_e$; $W-M_e$; $W-Y_e$; $W-N$; PS operator $rgb \rightarrow rgb_{de}$ setrgbcolor



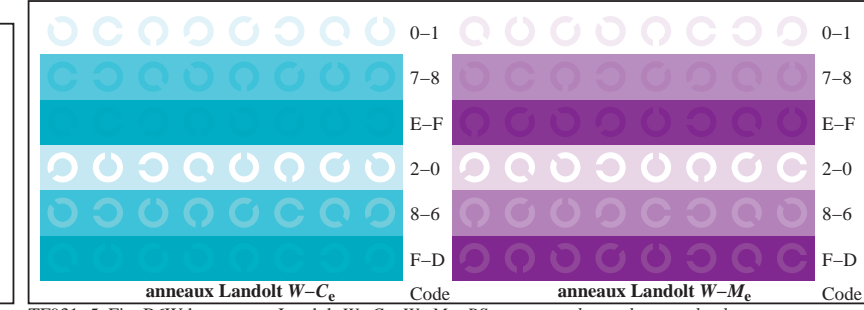
TF930-7, Fig. B3Wde: 14 CIE test couleurs et 2 + 16 gris étapes (sf); $rgb/cmym0 \rightarrow rgb_{de}$ setrgbcolor



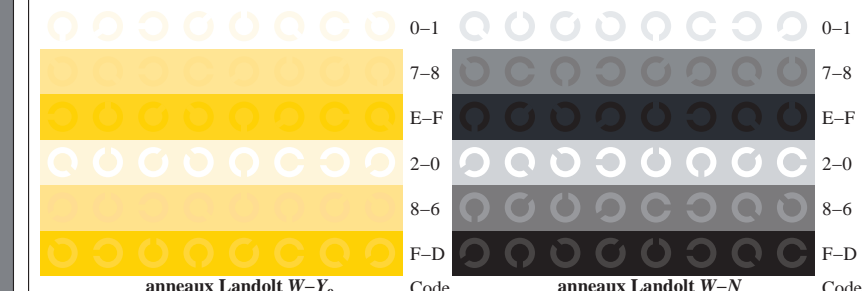
TF931-1, Fig. B4Wde: 16 équidistants étapes $W-C_e$; $W-M_e$; $W-Y_e$; $W-N$; $rgb/cmym0 \rightarrow rgb_{de}$ setrgbcolor

$+-.:$	\circ	\circ	\circ	C	$lmno$	\circ	\circ	\circ	$lmno$	\circ	\circ	\circ	$pqrs$	\circ	\circ	\circ	$tuvw$
$xyz;$	\circ	\circ	\circ	C	$hijk$	\circ	\circ	\circ	$hijk$	\circ	\circ	\circ	$lmno$	\circ	\circ	\circ	$pqrs$
$tuvw$	\circ	\circ	\circ	C	$defg$	\circ	\circ	\circ	$defg$	\circ	\circ	\circ	$hijk$	\circ	\circ	\circ	$hijk$
$pqrs$	\circ	\circ	\circ	C	$!abc$	\circ	\circ	\circ	$!abc$	\circ	\circ	\circ	$!abc$	\circ	\circ	\circ	$+-.:$
$lmno$	\circ	\circ	\circ	C	$xyz;$	\circ	\circ	\circ	$xyz;$	\circ	\circ	\circ	$tuvw$	\circ	\circ	\circ	tab
$hijk$	C	C	C	C	$defg$	\circ	\circ	\circ	$defg$	\circ	\circ	\circ	$!abc$	\circ	\circ	\circ	$xyz;$
$defg$	\circ	\circ	\circ	C	$!abc$	\circ	\circ	\circ	$!abc$	\circ	\circ	\circ	6	N	$C_e M_e Y_e Z$		$defg$
$!abc$	\circ	\circ	\circ	C	10	N	$C_e M_e Y_e Z$										$4 N C_e M_e Y_e Z$

TF931-3, Fig. B5Wde: code et Landolt anneau N ; C_e ; M_e ; Y_e ; Z ; PS operator $rgb \rightarrow rgb_{de}$ setrgbcolor



TF931-5, Fig. B6Wde: anneaux Landolt $W-C_e$; $W-M_e$; PS operator $rgb \rightarrow rgb_{de}$ setrgbcolor



TF931-7, Fig. B7Wde: anneaux Landolt $W-Y_e$; $W-N$; PS operator $rgb \rightarrow rgb_{de}$ setrgbcolor